

19,13,10

## Исследование влияния адгезии и ангармонизма колебаний атомов на тепловую проводимость границ „металл–диэлектрик“

© А.Г. Слепнёв

Московский государственный технический университет им. Н.Э. Баумана, Москва, Россия

E-mail: andslepnev@yandex.ru

(Поступила в Редакцию 27 октября 2016 г.)

Представлен метод расчета тепловой проводимости границ „металл–диэлектрик“, учитывающий в рамках модели акустического несоответствия адгезионное взаимодействие и ангармонизм колебаний атомов на границе и позволяющий получить лучшее согласие расчетных данных с экспериментом.

DOI: 10.21883/FTT.2017.07.44612.403

### 1. Введение

Внедрение наноструктур в технике обуславливает актуальность проблемы теплопереноса через границы. Несмотря на значительное число выполненных работ [1,2], в настоящее время не существует методов оценки коэффициента фоновой тепловой проводимости границ, обеспечивающих приемлемое согласие расчета с экспериментом в широком диапазоне температур. Недостаточность учета лишь акустических [3] и диффузионных [4] несоответствий на границе очевидна. Так, эксперименты [2,5,6] указывают на связь теплопереноса с адгезией. Учет же адгезии в расчетах [2,7] сопряжен с проблемой выбора потенциалов взаимодействия на границе. В представленной работе граничный теплоперенос рассмотрен в рамках модели акустического несоответствия с учетом адгезионного взаимодействия, параметры которого определялись в приближении модели [8,9].

Открытым остается и вопрос об аномальной тепловой проводимости границ материалов с существенно различными акустическими свойствами (Pb–Al<sub>2</sub>O<sub>3</sub>, Pb–алмаз и др.). Данные эксперимента здесь на порядок выше теоретических оценок, что связывают с вкладом в теплоперенос либо ангармонизма [10–12], либо электронов металла [13,14]. В настоящей работе дан анализ влияния адгезии на существование локализованных упругих волн на границе и их вклада в теплоперенос через ангармоническое взаимодействие с объемными волнами.

Как отмечено выше, в настоящей работе рассмотрены границы между металлами и средами, не обладающими свободными электронами (далее именуемыми диэлектриками). Все переменные, относящиеся к металлам, обозначены индексом  $j = 1$ , к диэлектрикам — индексом  $j = 2$ .

### 2. Учет адгезионного взаимодействия в модели акустического несоответствия

Коэффициент фоновой тепловой проводимости через границу сред 1 и 2 в модели акустического несоответ-

ствия [1,3] представляется в виде

$$\lambda_S = \frac{k}{3} \sum_{e=1}^3 \int_0^{\min(\omega_{De1}, \omega_{De2})/c_{e1}} \int_0^{\sqrt{(\omega/c_{e1})^2 - \beta_{e1}^2}} \theta_e \left( \left( \frac{\hbar\omega}{2kT} \right)^2 \times \sinh^{-2} \left( \frac{\hbar\omega}{2kT} \right) \right) c_{e1} \cos(\chi_{e1}) \frac{\pi d\xi^2 d\beta_{e1}}{(2\pi)^3}, \quad (1)$$

где  $e$  — поляризация падающей на границу упругой волны;  $\omega$  — ее частота;  $\xi$  и  $\beta_{ej}$  — проекции волнового вектора на плоскость границы и нормаль к ней;  $\chi_{ej}$  — угол падения ( $\cos \chi_{ej} = c_{ej}\beta_{ej}/\omega$ );  $c_{ej}$  — скорость звука;  $k$  и  $\hbar$  — постоянные Больцмана и Планка;  $T$  — температура;

$$\omega_{Dej} = c_{ej} \sqrt{6\pi^2 \rho_j / m_j}$$

— частота Дебая;  $\rho_j$  — плотность;  $m_j$  — атомная масса. Коэффициент прохождения волны через границу сред с адгезионным взаимодействием [7,15] (без учета изменения поляризации волн на границе) имеет вид:

$$\theta_e = \frac{\rho_2 c_{e2} \cos(\chi_{e2})}{\rho_1 c_{e1} \cos(\chi_{e1})} \frac{A_{e2}}{A_{e1}} \left( \frac{A_{e2}}{A_{e1}} \right)^* = 4 \left( \frac{(\mu_{e1}\beta_{e1} + \mu_{e2}\beta_{e2})^2}{\mu_{e2}\beta_{e2}\mu_{e1}\beta_{e1}} + \frac{\mu_{e2}\beta_{e2}\mu_{e1}\beta_{e1}}{\kappa^2} \right)^{-1}, \quad (2)$$

где  $A_{ej}$  — амплитуда волны ( $A_{ej}^*$  — комплексносопряженная амплитуда);  $\mu_{ej} \approx \rho_j c_{ej}^2$  — модуль упругости в объеме;  $\kappa$  — модуль упругости на границе.

Модуль упругости на границе  $\kappa = (d^2W/dL^2)_{L=0}$  определен в рамках модели [8,9], по которой взаимодействие сред 1 и 2 обусловлено их взаимной поляризацией, вызванной осцилляциями зарядов, а энергия взаимодействия определяется изменением энергии электромаг-

нитного поля в зазоре между средами при изменении величины зазора  $L$

$$W(L) = \left\{ \int_0^{\xi_{\max}} \frac{\hbar \Omega(\xi, L)}{2} \frac{2\pi\xi d\xi}{(2\pi)^2} - \sum_{j=1}^2 \int_0^{\xi_{\max}^j} \frac{\hbar \Omega_j(\xi)}{2} \frac{2\pi\xi d\xi}{(2\pi)^2} \right\}, \quad (3)$$

где  $\xi$  — проекция волнового вектора электромагнитной волны на плоскость границы,  $\Omega_j(\xi)$  и  $\Omega(\xi, L)$  — частота электромагнитных колебаний над свободной поверхностью  $j$ -той среды и в зазоре между средами соответственно.

Дисперсии  $\Omega_j(\xi)$  и  $\Omega(\xi, L)$  определяются из задачи о собственных значениях электромагнитных колебаний в зазоре и для границ металл ( $\epsilon_1 = 1 - (\Omega_{p1}/\Omega)^2$ ) — диэлектрик ( $\epsilon_2 = \text{const}$  [16]) имеют вид [15]

$$\Omega = \frac{\Omega_{p1}}{\sqrt{2}} \sqrt{1 - \frac{(\epsilon_2 - 1)}{(\epsilon_2 + 1)} \exp(-2\xi L)}, \quad (4)$$

где  $\Omega_{p1} = \sqrt{(n_{e1} q_e^2 \rho_1) / (\epsilon_0 m_e m_1)}$  — частота плазменных колебаний в металле,  $m_e$  и  $q_e$  — масса и заряд электрона,  $n_{e1}$  — металлическая валентность,  $m_1$  — масса атомов металла,  $\epsilon_j$  — диэлектрическая проницаемость,  $\epsilon_0$  — электрическая постоянная. Подстановка (4) в (3) приводит к выражению

$$W(L) = \int_{\xi_{\min}}^{\xi_{\max}} \frac{\hbar}{2} \frac{\Omega_{p1}}{\sqrt{2}} \left[ \sqrt{1 - \frac{(\epsilon_2 - 1)}{(\epsilon_2 + 1)} \exp(-2\xi L)} - 1 \right] \frac{2\pi\xi d\xi}{(2\pi)^2}, \quad (5)$$

где  $\xi_{\min} = \Omega_{p1} / (C \sqrt{\epsilon_2 + 1})$  — определяется областью существования дисперсии (4), а  $\xi_{\max} = \Omega_{p1} / (v_{F1} \sqrt{\epsilon_2 + 1})$  — областью устойчивости плазменных колебаний в металле [9];  $C$  — скорость света в вакууме,  $v_{F1} = (\hbar/m_e)^{3/2} \sqrt{3\pi^2 n_{e1} \rho_1 / m_1}$  — скорость электронов в металле на сферической поверхности Ферми. Поскольку  $\xi_{\min} / \xi_{\max} = v_{F1} / C \approx 10^{-2} \rightarrow 0$ , нижний предел в (5) может быть положен равным нулю.

Данные для расчета взяты из источников [4,17,18–21], результаты представлены в табл. 1–3. Полученные значения энергий адгезии  $W_0 = W(0)$ , модулей упругости на границе  $\kappa$  и коэффициентов тепловой проводимости  $\lambda_S$  ( $\lambda_{S\kappa}$  — приближение адгезионной и  $\lambda_{S\infty}$  — приближение жесткой связи на границе) даны в табл. 1 и 3. Также в таблицах представлены экспериментальные данные  $\lambda_{S \text{ exp}}$ .

В верхних строках табл. 1 приведены границы с близкими значениями  $\lambda_{S\kappa}$  и  $\lambda_{S \text{ exp}}$ , в нижних строках — границы с  $\lambda_{S\kappa} > \lambda_{S \text{ exp}}$ . Можно показать, что  $\lambda_S \propto \theta_e \propto \kappa^2 \propto W_0^2$  (при  $\kappa \rightarrow 0$ ),  $\lambda_S \propto \theta_e \propto \kappa \propto W_0$  (при промежуточных  $\kappa$ ) и  $\lambda_S \propto \theta_e \propto A - B/W_0^2$  (при  $\kappa \rightarrow \infty$ ), где  $A$  и  $B$  не зависят от  $W_0$ ; и связать расхождение теории  $\lambda_{S\kappa}$  с экспериментом  $\lambda_{S \text{ exp}}$ , приведенное в нижних строках табл. 1, с завышенными в ряде случаев значениями  $W_0$ , которые важно сравнить с верхней оценкой

**Таблица 1.** Тепловая проводимость ряда границ при температуре 300 K

Граница	$W_0, \text{ J/m}^2$	$\kappa, \text{ Pa/m}$	$\lambda_S, \text{ W/(K} \cdot \text{m}^2)$	
			$\lambda_{S\kappa}$	$\lambda_{S \text{ exp}}$
Al–AlN	3.9	$6.1 \cdot 10^{20}$	$2.6 \cdot 10^8$	$2.3 \cdot 10^8$ [22]
Al–Al <sub>2</sub> O <sub>3</sub>	3.2	$4 \cdot 10^{20}$	$1.9 \cdot 10^8$	$2 \cdot 10^8$ [22, 23]
Al–BaF <sub>2</sub>	2.4	$2.1 \cdot 10^{20}$	$10^8$	$10^8$ [23]
Al–алмаз	4.2	$6.6 \cdot 10^{20}$	$9.6 \cdot 10^7$	$4.6 \cdot 10^7$ [23]; $1.8 \cdot 10^8$ [24]
Au–BaF <sub>2</sub>	0.9	$5.7 \cdot 10^{19}$	$3.5 \cdot 10^7$	$4 \cdot 10^7$ [23]
Ti–Al <sub>2</sub> O <sub>3</sub>	3.9	$5.2 \cdot 10^{20}$	$1.9 \cdot 10^8$	$2 \cdot 10^8$ [23]
Ti–алмаз	5.0	$8.6 \cdot 10^{20}$	$10^8$	$10^8$ [23]
Al–GaN	3.8	$5.6 \cdot 10^{20}$	$5.2 \cdot 10^8$	$1.9 \cdot 10^8$ [22]
Al–Si	4.7	$7.2 \cdot 10^{20}$	$4.5 \cdot 10^8$	$1.2 \cdot 10^8$ [22]
Cr–AlN	9.2	$2 \cdot 10^{21}$	$6.9 \cdot 10^8$	$2 \cdot 10^8$ [22]
Cr–Al <sub>2</sub> O <sub>3</sub>	7.5	$1.3 \cdot 10^{21}$	$5.9 \cdot 10^8$	$1.9 \cdot 10^8$ [22]
Cr–GaN	8.8	$1.8 \cdot 10^{21}$	$1 \cdot 10^9$	$2.3 \cdot 10^8$ [22]
Cr–Si	10.9	$2.3 \cdot 10^{21}$	$8.8 \cdot 10^8$	$2 \cdot 10^8$ [22]

энергии адгезии [25]

$$W_{a0} = \sigma_1 + \sigma_2, \quad (6)$$

где  $\sigma_1, \sigma_2$  — поверхностные энергии металла и диэлектрика.

В табл. 2 приведены экспериментальные данные по  $\sigma_1$  и  $\sigma_2$ , значения энергий адгезии  $W_0$  (5) и  $W_{a0}$  (6) и соотношения  $W_0/W_{a0}$  и  $\lambda_{S\kappa}/\lambda_{S \text{ exp}}$ . В столбце  $\lambda_{S\kappa}/\lambda_{S \text{ exp}}$  приведены также наиболее близкие пропорциональности  $\lambda_S \propto W_0^N$  (для  $N > 1$ ) и  $\lambda_S \propto A - B/W_0^2$ . Исходя из таблицы, можно предположить, что

1) величина  $W_0$  рассчитана верно, если  $W_0/W_{a0} = \lambda_{S\kappa}/\lambda_{S \text{ exp}} \approx 1$ ;

2) величина  $W_0$  завышена, если  $W_0/W_{a0} \approx \lambda_{S\kappa}/\lambda_{S \text{ exp}} > 1$  и  $(W_0/W_{a0})^2 \approx \lambda_{S\kappa}/\lambda_{S \text{ exp}} > 1$ ;

3) если  $W_0/W_{a0} > \lambda_{S\kappa}/\lambda_{S \text{ exp}} \approx 1$ , то величина  $W_0$ , возможно, завышена, что, однако, не влияет на равенство  $\lambda_{S\kappa}$  и  $\lambda_{S \text{ exp}}$ , и соответствует случаю  $\kappa \rightarrow \infty$  и  $\lambda_S \approx A - B/W_0^2$ .

Безусловно энергия адгезии  $W_a = W_{a0} - \sigma_{12}$  определяется также энергией границы  $\sigma_{12}$ , определяемой технологическим процессом. Так, в работе [25] энергии адгезии определены из экспериментов по смачиванию подложек жидкими металлами и имеют меньшие значения, чем величины  $W_0$  и  $W_{a0}$ , представленные в табл. 2, что может говорить о неполной релаксации напряжений на границе или неполном покрытии каплей подложки. В работе [26], в зависимости от температуры отжига, энергия адгезии пленки Au к SiO<sub>2</sub> менялась от 0.37 J/m<sup>2</sup> (после напыления) до 0.9 J/m<sup>2</sup> (отжиг при 100°C в течение 1 h) и до 9.9 J/m<sup>2</sup> (отжиг при 300°C в течение 1 h). И если отжиг при 100°C соответствовал снятию напряжений на границе, то отжиг при 300°C вызывал образование диффузионного интерфейса. Энергия же ад-

**Таблица 2.** Поверхностные энергии (экспериментальные значения) и энергии адгезии (расчетные значения) для ряда веществ и их границ

Граница	$\sigma_1, \text{J/m}^2$	$\sigma_2, \text{J/m}^2$	$W_{a0}, \text{J/m}^2$	$W_0, \text{J/m}^2$	$W_0/W_{a0}$	$\lambda_{S\kappa}/\lambda_{S \text{ exp}}$
Al–AlN	0.87 [25]	2 [28]	2.87	3.9	1.34	1.13
Al–Al <sub>2</sub> O <sub>3</sub>		2.6 [29] $\alpha$ -Al <sub>2</sub> O <sub>3</sub>	3.47	3.2	0.92	0.95
		1.7 [29] $\gamma$ -Al <sub>2</sub> O <sub>3</sub>	2.57			
Al–BaF		0.28 [30]	1.15	2.4	2.09	1; $\lambda_S \propto A - B/W_0^2$
Al–GaN		1.5 [31]	2.37	3.8	1.6	2.74; $\lambda_S \propto W_0^{2.2}$
Al–Si		1.5 [32]	2.37	4.7	1.98	3.75; $\lambda_S \propto W_0^{1.9}$
Al–алмаз		5.6 [32]	6.47	4.2	0.65	0.85
Au–BaF <sub>2</sub>	1.15 [25]	0.28 [30]	1.43	0.9	0.63	0.875
Cr–AlN	1.64 [25]	2.0 [28]	3.64	9.2	2.53	3.45; $\lambda_S \propto W_0^{1.4}$
Cr–Al <sub>2</sub> O <sub>3</sub>		2.6 [29] $\alpha$ -Al <sub>2</sub> O <sub>3</sub>	4.24	7.5	1.77	3.08; $\lambda_S \propto W_0^2$
		1.7 [29] $\gamma$ -Al <sub>2</sub> O <sub>3</sub>	3.34			
Cr–GaN		1.5 [31]	3.14	8.8	2.8	4.35; $\lambda_S \propto W_0^{1.4}$
Cr–Si	1.5 [32]	3.14	10.9	3.47	4.42; $\lambda_S \propto W_0^{1.2}$	
Ti–Al <sub>2</sub> O <sub>3</sub>	1.53 [25]	2.6 [29] $\alpha$ -Al <sub>2</sub> O <sub>3</sub>	4.13	3.9	0.95	0.95
		1.7 [29] $\gamma$ -Al <sub>2</sub> O <sub>3</sub>	3.23		1.21	
Ti–алмаз		5.6 [32]	7.13	5.0	0.7	1

**Таблица 3.** Тепловая проводимость ряда границ материалов с существенно различными акустическими свойствами при температуре 300 К

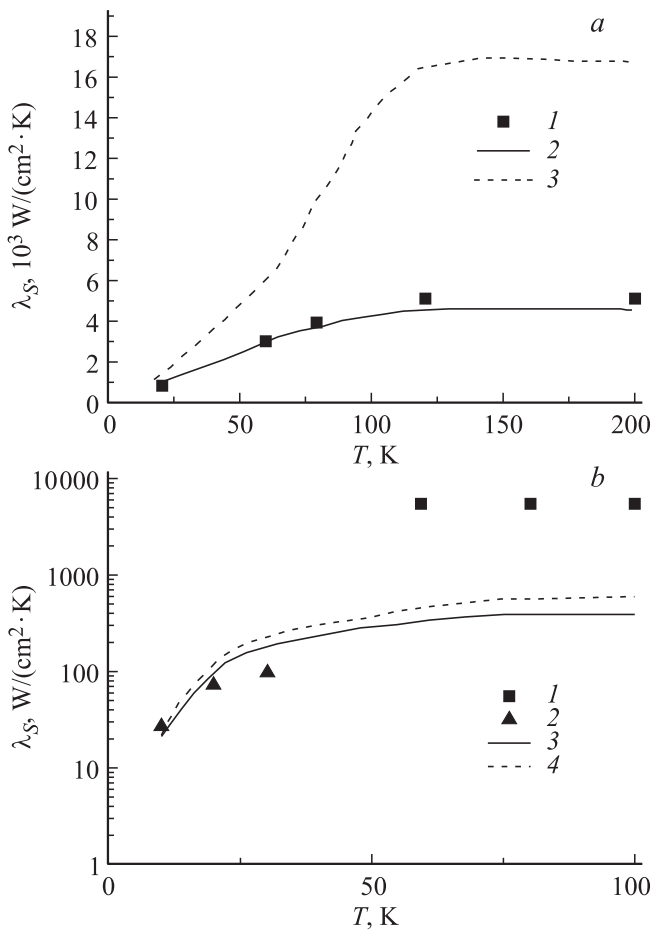
Граница	$W_0, \text{J/m}^2$	$\kappa, \text{Pa/m}$	$\lambda_S, \text{W}/(\text{K} \cdot \text{m}^2)$		
			$\lambda_{S\kappa}$	$\lambda_{S\infty}$	$\lambda_{S \text{ exp}}$
Au–Al <sub>2</sub> O <sub>3</sub>	1.3	$1.08 \cdot 10^{20}$	$5.5 \cdot 10^6$	$3.8 \cdot 10^7$	$4.5 \cdot 10^7$ [22,23]
Au–Si	1.8	$1.9 \cdot 10^{20}$	$1.5 \cdot 10^7$	$4.1 \cdot 10^7$	$7.1 \cdot 10^7$ [22]
Au–SiO <sub>2</sub>	1.0	$6.8 \cdot 10^{19}$	$1.5 \cdot 10^7$	$8.1 \cdot 10^7$	$3.6 \cdot 10^7$ [5]
Au–TiO <sub>2</sub>	1.9	$8.5 \cdot 10^{19}$	$3.9 \cdot 10^6$	$4.5 \cdot 10^7$	$4 \cdot 10^7$ [6]
Au–алмаз	1.6	$1.8 \cdot 10^{20}$	$3.2 \cdot 10^6$	$1.9 \cdot 10^7$	$4 \cdot 10^7$ [23]
Bi–алмаз	3.4	$4.9 \cdot 10^{20}$	$0.3 \cdot 10^7$	$0.3 \cdot 10^7$	$0.9 \cdot 10^7$ [12]
Cu–SiO <sub>2</sub>	1.4	$1 \cdot 10^{20}$	$1 \cdot 10^8$	$4.4 \cdot 10^8$	$4.3 \cdot 10^8$ [6]
Mo–Al <sub>2</sub> O <sub>3</sub>	6.0	$9.6 \cdot 10^{20}$	$2.5 \cdot 10^8$	$4.1 \cdot 10^8$	$6.7 \cdot 10^8$ [36]
Pb–Al <sub>2</sub> O <sub>3</sub>	2.5	$2.8 \cdot 10^{20}$	$4.7 \cdot 10^6$	$7.2 \cdot 10^6$	$5.5 \cdot 10^7$ [23]
Pb–BaF <sub>2</sub>	1.9	$1.45 \cdot 10^{20}$	$3.2 \cdot 10^7$	$5.2 \cdot 10^7$	$6.5 \cdot 10^7$ [23]
Pb–алмаз	3.2	$4.6 \cdot 10^{20}$	$2.3 \cdot 10^6$	$3 \cdot 10^6$	$1.8 \cdot 10^7$ [12]; $3 \cdot 10^7$ [23]
Pt–AlN	3.1	$4.26 \cdot 10^{20}$	$3.2 \cdot 10^7$	$7 \cdot 10^7$	$1.2 \cdot 10^8$ [10]
Pt–Al <sub>2</sub> O <sub>3</sub>	2.5	$2.8 \cdot 10^{20}$	$2.2 \cdot 10^7$	$7.7 \cdot 10^7$	$1.2 \cdot 10^8$ [10]
Pt–Si	3.6	$5 \cdot 10^{20}$	$4.8 \cdot 10^7$	$7.7 \cdot 10^7$	$1.4 \cdot 10^8$ [22]

Примечание. В табл. 3 представлены границы, для которых расчетные значения  $\lambda_{S\kappa}$  оказываются меньше экспериментальных. В таблице также приведены расчетные значения  $\lambda_{S\infty}$ , полученные в приближении жесткой связи ( $\kappa \rightarrow 0$ ) на границе.

гезии металлов к керамике, определенная в работе [27], имеет значения, близкие к данным в табл. 2.

Поскольку  $W_0 \propto \Omega_p \epsilon_{\text{max}}^2 \propto \Omega_{p1}^3 / \nu_F^2 \propto n_{el}^{5/6}$ , можно полагать, что завышенные значения  $W_0$  связаны с использованием в расчетах максимальной валентности метал-

лов [19]. Тем не менее, исследования  $d$ -металлов [33,34] указывают на более сложную зависимость  $\epsilon(\Omega)$ , чем  $\epsilon = 1 - (\Omega_p/\Omega)^2$ . Так, в [33] показано, что  $\Omega_p \rightarrow \Omega_{ps}$  при  $\Omega \rightarrow 0$ , и  $\Omega_p \rightarrow \Omega_{pd}$  при  $\Omega \rightarrow \infty$ , где  $\Omega_{ps}$  и  $\Omega_{pd}$  — частоты плазменных колебаний  $s$ - и  $d$ -электронов. В [34]



**Рис. 1.** Зависимость тепловой проводимости границ от температуры: *a* — Au–BaF<sub>2</sub>: 1 — эксперимент [23], 2 — расчет в приближении адгезионной связи, 3 — расчет в приближении жесткой связи ( $\kappa \rightarrow \infty$ ); *b* — Pb–Al<sub>2</sub>O<sub>3</sub> ( $\lambda_S$  в логарифмическом масштабе): 1 — эксперимент [23], 2 — эксперимент [37], 3 — расчет в приближении адгезионной связи, 4 — расчет в приближении жесткой связи ( $\kappa \rightarrow \infty$ ).

указаны два резонанса, соответствующих возбуждениям *s*- и *d*-электронов. Вероятно, сильнее связанные с ядром *d*-электроны дают меньший вклад в  $W_0$  по сравнению с *s*-электронами [35], что не учтено в данной работе.

На рис. 1, *a* и *b* приведено сравнение температурных зависимостей коэффициентов тепловой проводимости  $\lambda_S$  границ Au–BaF<sub>2</sub> и Pb–Al<sub>2</sub>O<sub>3</sub>, рассчитанных в приближении адгезионной  $\lambda_{S\kappa}$  и жесткой  $\lambda_{S\infty}$  связей, с экспериментальными данными  $\lambda_{S\text{exp}}$ . Из рисунка видно, что при высоких температурах в случае Au–BaF<sub>2</sub> (табл. 1) экспериментальные данные лучше описываются моделью, учитывающей адгезию на границе, в то же время в случае Pb–Al<sub>2</sub>O<sub>3</sub> (табл. 3) теоретические оценки лежат ниже экспериментальных данных.

Границы, приведенные в табл. 3, образованы материалами с существенно различными акустическими свойствами (например,  $c_{t\text{Pb}} = 700 \text{ m/s}$ , а  $c_{t\text{Al}_2\text{O}_3} = 6350 \text{ m/s}$ ) и интересны тем, что сегодня нет общепринятого объ-

яснения, почему их тепловая проводимость при высоких температурах выше даже идеальных теоретических оценок [1,2]. Так, из рис. 1, *b* видно, что расчет согласуется с экспериментом при малых температурах, но при температурах выше дебаевской ( $\sim 100 \text{ K}$  для свинца [23]) эксперимент на порядок превосходит теорию. Не останавливаясь на возможном влиянии электронов металла на теплоперенос через границу [13,14], рассмотрим подробнее влияние на него взаимодействия упругих волн [10–12]. Действительно, простейшая дисперсия Лява [38] для двухслойной среды ( $h_j$  — толщина *j*-того слоя)

$$\mu_1 \beta_1 \sin(h_1 \beta_1) \cos(h_2 \beta_2) + \mu_2 \beta_2 \sin(h_2 \beta_2) \cos(h_1 \beta_1) = 0,$$

$$\beta_j = \sqrt{(\omega/c_{tj})^2 - \xi^2},$$

описывает волны, существующие как во всем объеме системы  $\beta_2^2 > 0$  ( $c_{t1} < c_{t2}$ ), так и локализованные в слое с меньшей скоростью звука  $\beta_2^2 < 0$ . Увеличение соотношения  $c_{t2}/c_{t1}$  ведет к расширению в фазовом пространстве области локализованных волн. Соотношение фазовых объемов, соответствующих локализованным и нелокализованным волнам, можно оценить как

$$n \approx [(\omega/c_{t1})^3 - (\omega/c_{t2})^3](c_{t2}/\omega)^3 \approx (c_{t2}/c_{t1})^3,$$

откуда  $n_{\text{Pb-Al}_2\text{O}_3} \approx 750$  при  $c_{t\text{Pb}} = 700 \text{ m/s}$  и  $c_{t\text{Al}_2\text{O}_3} = 6350 \text{ m/s}$ . Таким образом, можно ожидать значительного усиления теплопереноса через границу, если в системе существуют механизмы, способные перебрасывать волны из области локализации.

### 3. Учет интерфейсных ангармонических явлений

Из рис. 1, *b* видно, что тепловая проводимость границы Pb–Al<sub>2</sub>O<sub>3</sub> начинает проявлять свой аномальный характер при температурах, несколько меньших температуры Дебая свинца. Можно предположить, что из-за слабости адгезионной связи ангармонизм колебаний в свинце на интерфейсе проявляется раньше, чем в объеме. Если при этом существуют интерфейсные волны, то на них вероятны рассеяние и делокализация волн, локализованных в объеме свинца.

Получим дисперсию интерфейсных волн, полагая тело 2 абсолютно жестким ( $c_2 \gg c_1$ ). Потенциалы растяжения–сжатия и сдвига имеют вид

$$\varphi_1 = \Phi_1 \exp(i(\xi x - \omega t)) \exp(-\alpha_{10} z),$$

$$\psi_1 = \Psi_1 \exp(i(\xi x - \omega t)) \exp(-\beta_{10} z), \quad \varphi_2 = 0, \quad \psi_2 = 0,$$

$$\text{где } \alpha_{10} = \sqrt{\xi^2 - (\omega/c_{t1})^2}, \quad \beta_{10} = \sqrt{\xi^2 - (\omega/c_{t1})^2}.$$

Граничные условия на интерфейсе ( $z = 0$ ) представим следующим образом:  $u_{1z}\kappa = \sigma_{1zz}$  и  $u_{1x}\kappa = \sigma_{1zx}$ , где

$u_1$  — поле смещений,  $\sigma_{zz1}$  и  $\sigma_{zx1}$  — поля напряжений на границе,  $\lambda_1$  и  $\mu_1$  — коэффициенты Ламе [38]

$$\begin{aligned} u_1 &= \text{grad } \varphi_1 + \text{rot } \Psi_1, \\ \sigma_{zz1} &= \lambda_1 \left( \frac{\partial u_{x1}}{\partial x} + \frac{\partial u_{z1}}{\partial z} \right) + 2\mu_1 \frac{\partial u_{z1}}{\partial z}, \\ \sigma_{zx1} &= \mu_1 \left( \frac{\partial u_{x1}}{\partial z} + \frac{\partial u_{z1}}{\partial x} \right). \end{aligned}$$

Дисперсионное соотношение для интерфейсных волн на границе слабосвязанных упругого 1 и абсолютно жесткого 2 полупространств имеет вид

$$\begin{aligned} \xi^2(\kappa + 2\mu_1\beta_{10})(\kappa + 2\mu_1\alpha_{10}) - \left( \alpha_{10}\kappa - \lambda_1 \left( \frac{\omega}{c_{11}} \right)^2 + 2\mu_1\alpha_{10}^2 \right) \\ \times (\beta_{10}\kappa + \mu_1(\beta_{10}^2 + \xi^2)) = 0, \end{aligned} \quad (7)$$

которое переходит в дисперсию волн Рэлея [38] при  $\kappa \rightarrow 0$ :

$$4\xi^2\beta_{10}\mu_1\alpha_{10} - \left( 2\mu_1\alpha_{10}^2 - \lambda_1 \left( \frac{\omega}{c_{11}} \right)^2 \right) (\beta_{10}^2 + \xi^2) = 0.$$

Анализ дисперсии (7) показал, что интерфейсные волны вероятны на всех границах, приведенных в табл. 3, за исключением границ с поливалентными металлами (Pb, Bi, Mo), валентность которых в расчетах (5) была взята максимальной, что могло привести к завышенным значениям коэффициента  $\kappa$  и некорректным заключениям о возможности локализации волн на интерфейсе.

Проведем анализ рассеяния упругих волн на границе сред 1 и 2 с интерфейсным слоем толщины  $\delta$ , представляющим собой среду 1 с измененными вследствие ангармонизма модулями упругости. Пренебрежем изменением поляризации волн на границе. Граничные условия запишем в виде  $z = 0$  — граница среды 2 с интерфейсным слоем

$$\begin{cases} (\mu_1 + \Delta\mu_1) \left( \frac{\partial u_S}{\partial z} \right)_{z=0} = \mu_2 \left( \frac{\partial u_2}{\partial z} \right)_{z=0}, \\ (u_S - u_2)_{z=0} \kappa = \mu_2 \left( \frac{\partial u_2}{\partial z} \right)_{z=0}, \end{cases}$$

$z = \delta$  — граница среды 1 с интерфейсным слоем

$$\begin{cases} (\mu_1 + \Delta\mu_1) \left( \frac{\partial u_S}{\partial z} \right)_{z=\delta} = \mu_1 \left( \frac{\partial u_1}{\partial z} \right)_{z=\delta}, \\ (u_S)_{z=\delta} = (u_1)_{z=\delta}, \end{cases}$$

где  $\Delta\mu_1$  — возмущение объемного модуля упругости в интерфейсном слое, связанное с ангармонизмом интерфейсных волн,  $u_1$  и  $u_2$  — поля смещений атомов в объемах сред 1 и 2,  $u_S$  — поле смещений атомов в интерфейсном слое, обусловленное падением волн из среды 1 на границу.

Полагая для упрощения амплитуду интерфейсных волн (7) неизменной в пределах слоя их затухания  $\delta$ , представим возмущение  $\Delta\mu_1$  в виде

$$\begin{aligned} \Delta\mu_1 &= M_1 \frac{\partial U_S}{\partial x} \\ &= M_1 \sum_S \xi_S A_S (\exp(i\xi_S x) + \exp(-i\xi_S x)) \exp(-i\omega_S t), \end{aligned}$$

где  $M_1$  — некий модуль упругости 3-го порядка,  $U_S$  — упрощенное представление поля смещений атомов в интерфейсной волне (7). При этом  $U_S \neq u_S$ , поскольку  $u_S$  — поле смещений в интерфейсном слое, вызываемое волнами, падающими из объема. Поля смещений  $u_1, u_S, u_2$  представим в виде [39]

$$\begin{aligned} u_1 &= (A_1 \exp(i\beta_1 z) + B_1 \exp(-i\beta_1 z)) \exp(i(\xi x - \omega t)) \\ &+ \sum_J B_{1J} \exp(-i\beta_{1J} z) \exp(i(\xi_J x - \omega_J t)) = u_{10} + \sum_J u_{1J}, \\ u_2 &= A_2 \exp(i\beta_2 z) \exp(i(\xi x - \omega t)) + \sum_J A_{2J} \exp(i\beta_{2J} z) \\ &\times \exp(i(\xi_J x - \omega_J t)) = u_{20} + \sum_J u_{2J}, \\ u_S &= (A_1 \exp(i\beta_1 z) + B_1 \exp(-i\beta_1 z)) \exp(i(\xi x - \omega t)) \\ &+ \sum_J [A_{SJ} \exp(i\beta_{SJ} z) + B_{SJ} \exp(-i\beta_{SJ} z)] \\ &\times \exp(i(\xi_J x - \omega_J t)) = u_{10} + \sum_J u_{SJ}. \end{aligned}$$

Подставляя  $u_1, u_S, u_2$  и  $\Delta\mu_1$  в граничные условия, полагая возмущение  $\Delta\mu_1$  малым, пренебрегая величинами большего порядка малости  $\Delta\mu_1 u_{SJ}$  и приводя слагаемые с одинаковыми показателями экспонент, получим объединение систем уравнений

$$\begin{cases} \mu_1\beta_1[A_1 - B_1] = \mu_2\beta_2A_2, \\ (A_1 + B_1 - A_2)\kappa = \mu_2i\beta_2A_2, \\ \mu_1\beta_{SJ}[A_{SJ} - B_{SJ}] + \xi_S M_1\beta_1 A_S [A_1 - B_1] = \mu_2\beta_{2J}A_{2J}, \\ (A_{SJ} + B_{SJ} - A_{2J})\kappa = \mu_2i\beta_{2J}A_{2J}, \\ \mu_1\beta_{SJ}[A_{SJ} \exp(i\beta_{SJ}\delta) - B_{SJ} \exp(-i\beta_{SJ}\delta)] \\ + M_1\beta_1 \xi_S A_S [A_1 \exp(i\beta_1\delta) - B_1 \exp(-i\beta_1\delta)] \\ = -\mu_1\beta_{1J} B_{1J} \exp(-i\beta_{1J}\delta), \\ A_{SJ} \exp(i\beta_{SJ}\delta) + B_{SJ} \exp(-i\beta_{SJ}\delta) = B_{1J} \exp(-i\beta_{1J}\delta), \end{cases}$$

где первая система описывает линейное прохождение волн через невозмущенную границу, а последующие системы описывают рассеяние падающих на границу волн с генерацией волн, для которых выполняются условия  $\xi_J = \xi \pm \xi_S, \omega_J = \omega + \omega_S$  и

$$\beta_{jJ} = \sqrt{((\omega + \omega_S)/c_j)^2 - (\xi \pm \xi_S)^2} \quad (j = 1, 2, S).$$

Из последней системы при условиях  $\beta_{SJ} \approx \beta_{1J} (\Delta\mu_1 \rightarrow 0)$  и  $\delta \rightarrow 0$  получим связь между амплитудами волн па-

дающей  $A_1$  и сгенерированной вследствие взаимодействия  $A_{2J}$

$$\frac{A_{2J}}{A_1} = \frac{-2i \frac{M_1 \beta_1^2 \xi_S A_S \delta}{\mu_1 \beta_{1J}} \left( \frac{\mu_1 \beta_1}{\mu_2 \beta_2} + i \frac{\mu_1 \beta_1}{\kappa} - \frac{\beta_{1J}}{\beta_1} \right)}{\left( \frac{\mu_2 \beta_{2J}}{\mu_1 \beta_{1J}} + 1 + i \frac{\mu_2 \beta_{2J}}{\kappa} \right) \left( \frac{\mu_1 \beta_1}{\mu_2 \beta_2} + 1 + i \frac{\mu_1 \beta_1}{\kappa} \right)}. \quad (8)$$

Определим тепловой поток в среде 2, учитывая генерацию волн на границе

$$q = \frac{1}{3} \sum_{e\omega\xi} \frac{\rho_2 \omega_J^2}{2} \left( \bar{u}_2 + \sum u_{2J} \right) \left( \bar{u}_2 + \sum u_{2J} \right)^* c_2 \cos(\chi_{2J})$$

$$\approx \frac{1}{3} \sum_{e\omega\xi} \frac{\rho_2 \omega_J^2}{2} \left( \bar{A}_2 \bar{A}_2^* + \bar{A}_2^* \sum A_{2J} + \bar{A}_2 \sum A_{2J}^* \right)$$

$$\times c_2 \cos(\chi_{2J}),$$

где  $\bar{A}_2$  — амплитуды волн  $\bar{u}_2$ , испытавших линейное прохождение через границу и обладающих характеристиками  $\beta_{2J}$  и  $\omega_J$ ;  $A_{2J}$  — амплитуды сгенерированных волн  $u_{2J}$ ,  $\sum A_{2J} \sum A_{2J}^* \rightarrow 0$  как величина большого порядка малости. Суммы  $\sum_J$  берутся по всем сгенерированным волнам с характеристиками  $\beta_{2J}$  и  $\omega_J$ .

Представим выражение для теплового потока в виде

$$q = \frac{1}{3} \sum_{e\omega\xi} \frac{\rho_2 \omega_J^2}{2} \bar{A}_2 \bar{A}_2^* \left\{ 1 + \sum \left[ \left( \frac{A_{2J}}{A_1} \right) \left( \frac{\bar{A}_1}{\bar{A}_1} \right) \left( \frac{\bar{A}_1}{\bar{A}_2} \right) \right] \right.$$

$$\left. + \sum \left[ \left( \frac{A_{2J}^*}{A_1^*} \right) \left( \frac{\bar{A}_1^*}{\bar{A}_1^*} \right) \left( \frac{\bar{A}_1^*}{\bar{A}_2^*} \right) \right] \right\} c_2 \cos(\chi_{2J}), \quad (9)$$

где

$$\bar{A}_2 / \bar{A}_1 = 2 / \left( \frac{\mu_2 \beta_{2J}}{\mu_1 \beta_{1J}} + 1 + \frac{\mu_2 i \beta_{2J}}{\kappa} \right)$$

— определяются линейным прохождением волн  $\bar{u}_2$  через границу, а  $A_{2J}/A_1$  определяется формулой (8).

Подставляя эти выражения в произведение  $(A_{2J}/A_1)(\bar{A}_1/\bar{A}_2)$  и учитывая, что волны  $u_{2J}$  и  $\bar{u}_2$  обладают одним набором  $\beta$ ,  $\xi$ ,  $\omega$ , а также положив для упрощения  $\beta_2 \approx i\xi$  (поскольку интересен перебор локализованных волн при  $c_1 \ll c_2$ ), получим

$$\left( \frac{A_{2J}}{A_1} \right) \left( \frac{\bar{A}_1}{\bar{A}_2} \right) = \frac{M_1 \beta_1^2 \xi_S A_S \delta}{\mu_1 \beta_{1J}}$$

$$\times \frac{\left( \frac{\mu_1 \beta_1}{\kappa} - \frac{\mu_1 \beta_1}{\xi \mu_2} \right) \left( 1 + \frac{\beta_{1J}}{\beta_1} \right) + i \frac{\beta_{1J}}{\beta_1} - i \left( \frac{\mu_1 \beta_1}{\kappa} - \frac{\mu_1 \beta_1}{\xi \mu_2} \right)^2}{\left( 1 + \left( \frac{\mu_1 \beta_1}{\kappa} - \frac{\mu_1 \beta_1}{\xi \mu_2} \right)^2 \right)}.$$

Приняв амплитуды  $\bar{A}_1$  и  $A_1$  действительными и положив их отношение выражением

$$A_1 / \bar{A}_1 = \sqrt{\omega_J \left( \exp\left(\frac{\hbar \omega_J}{kT}\right) - 1 \right) / \omega \left( \exp\left(\frac{\hbar \omega}{kT}\right) - 1 \right)},$$

перепишем (9) в виде

$$q = \frac{1}{3} \sum_{e\omega\xi} \frac{\rho_2 \omega_J^2}{2} \bar{A}_2 \bar{A}_2^* \{1 + Y\} c_2 \cos(\chi_{2J}),$$

где  $Y$  — соотношение вкладов волн  $\bar{u}_2$  и  $\sum u_{2J}$  в тепловой поток (соотношение ангармонической и гармонической составляющих теплового потока)

$$Y = 2 \sum \frac{M_1 \beta_1^2 \xi_S A_S \delta}{\mu_1 \beta_{1J}} \frac{\left( \frac{\mu_1 \beta_1}{\kappa} - \frac{\mu_1 \beta_1}{\xi \mu_2} \right) \left( 1 + \frac{\beta_{1J}}{\beta_1} \right)}{\left( 1 + \left( \frac{\mu_1 \beta_1}{\kappa} - \frac{\mu_1 \beta_1}{\xi \mu_2} \right)^2 \right)}$$

$$\times \sqrt{\frac{\omega_J \left( \exp\left(\frac{\hbar \omega_J}{kT}\right) - 1 \right)}{\omega \left( \exp\left(\frac{\hbar \omega}{kT}\right) - 1 \right)}}. \quad (10)$$

Перейдем в (10) к интегрированию. В интересующем нас случае  $c_1 \ll c_2$  и  $c_S \approx c_1$  (следует из (7)) очевидно, что  $\beta_{2J}^2 > 0$  (условие прохождения сгенерированной волны  $u_{2J}$  через границу) выполнимо только при  $\xi_J = \xi - \xi_S$ , что дает возможность преобразовать

$$\beta_{2J} = \sqrt{((\omega + \omega_S)/c_2)^2 - (\xi \pm \xi_S)^2}$$

к выражению

$$\xi = \xi_S + \left( \frac{\omega + \omega_S}{c_2} \right) \sin(\chi_{2J})$$

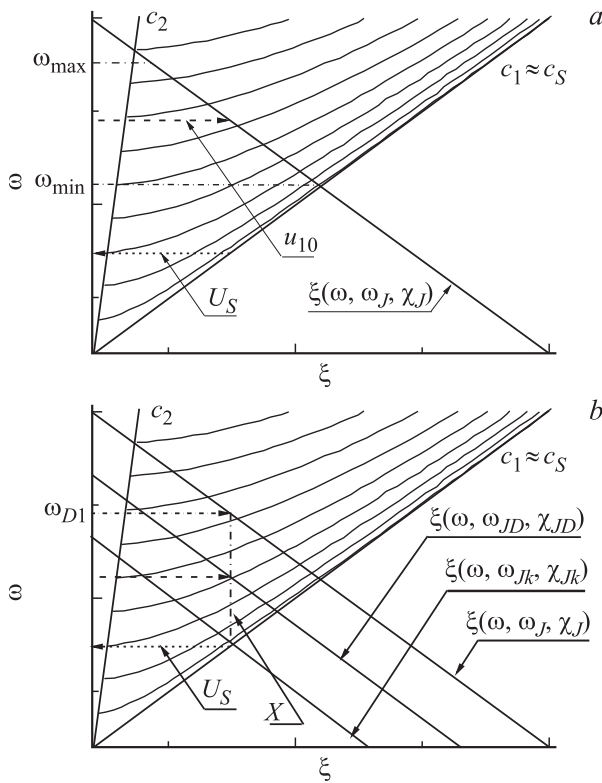
$$= \left( \frac{\omega_J - \omega}{c_S} \right) + \left( \frac{\omega_J}{c_2} \right) \sin(\chi_{2J}), \quad (11)$$

определяющему на дисперсионной диаграмме (рис. 2, а) точки, соответствующие падающим волнам с параметрами  $\omega$  и  $\xi$ , генерирующим проходящие через границу волны с параметрами  $\omega_J$  и  $\chi_J$ . Из (11) следует, что рассматриваемая падающая волна  $u_{10}$  при взаимодействии с интерфейсной волной  $U_S$  генерирует лишь одну проходящую волну  $u_{2J}$  (рис. 2, а), в то время как интерфейсная волна  $U_S$  участвует в генерации нескольких проходящих волн (рис. 2, б), взаимодействуя с другими падающими волнами. Максимальная  $\omega_{\max}$  (условие  $\xi = 0$ ) и минимальная  $\omega_{\min}$  (условие  $\xi = \omega_{\min}/c_S$ ) частоты падающих волн, участвующих в генерации проходящих через границу волн, определяются из (11) выражениями

$$\omega_{\max} = \begin{cases} \omega_J \left( 1 + \left( \frac{c_S}{c_2} \right) \sin(\chi_{2J}) \right), & \omega_{\max} < \omega_{D1}, \\ \omega_{D1}, & \omega_{\max} > \omega_{D1}, \end{cases},$$

$$\omega_{\min} = \frac{\omega_J}{2} \left( 1 + \left( \frac{c_S}{c_2} \right) \sin(\chi_{2J}) \right).$$

Таким образом, суммирование в (10) по всем сгенерированным волнам частоты  $\omega_J$  заменим интегрированием на плоскости „ $\xi - \omega$ “ по частоте падающих волн  $\omega$  при



**Рис. 2.** *a)* Схема взаимодействия падающей  $u_{10}$  и интерфейсной  $U_S$  волн с генерацией проходящей волны  $u_{2j}$ ; *b)* Схема взаимодействия интерфейсной волны  $U_S$  с различными падающими волнами и генерации различных мод  $u_{2j}$ . Отрезок  $X \approx \omega_{D1} - c_S \xi_S$  — геометрическое место проекций  $\xi$  волновых векторов падающих волн, взаимодействие с которыми приводит к генерации проходящих волн  $u_{2j}$ ;  $\omega/c_2 < \xi < \omega/c_1$  — область волн, локализованных в среде 1;  $0 < \xi < \omega/c_2$  — область волн, проходящих через границу;  $\xi(\omega, \omega_J, \chi_J)$  — прямая (11),  $\omega_{D1}$  — частота Дебая среды 1.

заданном значении  $\omega_J$  в пределах  $[\omega_{\min}, \omega_{\max}]$  вдоль прямой  $\xi(\omega)$ , определяемой выражением (11)

$$Y = \frac{2M_1}{\mu_1} \int_{\omega_{\min}}^{\omega_{\max}} \frac{\beta_1^2 \delta \xi_S A_S \left( \frac{\mu_1 \beta_1}{\kappa} - \frac{\mu_1 \beta_1}{\xi \mu_2} \right) \left( 1 + \frac{\beta_{1J}}{\beta_1} \right)}{\beta_{1J} \left( 1 + \left( \frac{\mu_1 \beta_1}{\kappa} - \frac{\mu_1 \beta_1}{\xi \mu_2} \right)^2 \right)} \times \sqrt{\frac{\omega_J \left( \exp\left(\frac{\hbar \omega_J}{kT}\right) - 1 \right)}{\omega \left( \exp\left(\frac{\hbar \omega}{kT}\right) - 1 \right)}} \frac{d\omega}{\Delta \omega} \tau, \quad (12)$$

где  $1/\tau \approx X/\Delta\omega = (\omega_{D1} - c_S \xi_S)/\Delta\omega$  — коэффициент, учитывающий ослабление интерфейсной волны  $U_S$  вследствие генерации проходящих волн в диапазоне частот  $X$  с интервалом  $\Delta\omega$  (рис. 2, *b*). Существуют также процессы, приводящие к генерации волн, вновь локализованных в среде 1, что означает отсутствие переноса энергии через границу сред и ее последующее перераспределение между колебательными модами среды 1, поэтому эти процессы не учитываются в ослаблении падающих и интерфейсных волн в выражении (12).

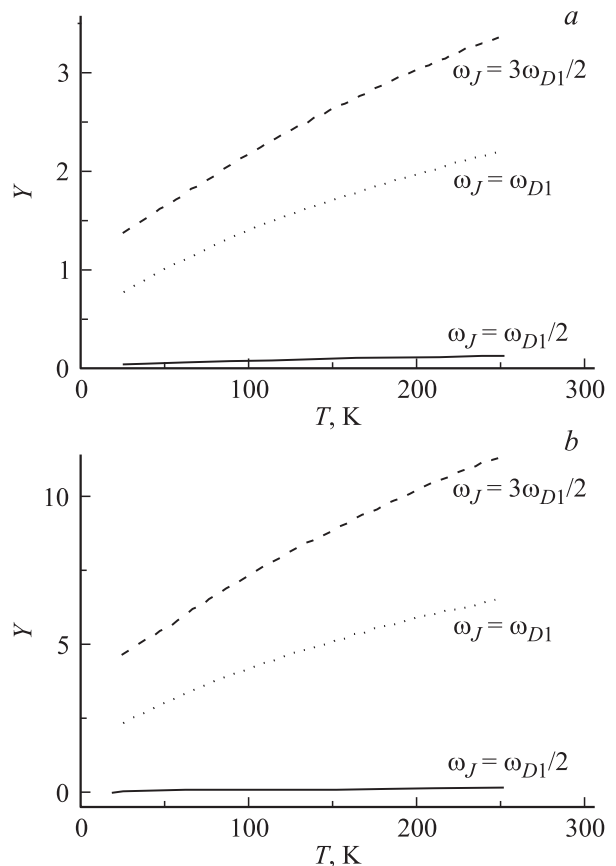
Для оценки  $Y$  дополнительно использовались  $M_1 \approx (2\gamma_1 + 3)\mu_1$  — модуль упругости 3-го порядка [38],  $\gamma_1$  — параметр Грюнайзена [40],  $\delta \xi_S \approx 1$  (при условии  $c_2 \gg c_S \approx c_1$ ). Зависимость  $Y$  от температуры для различных частот  $\omega_J$  приведена на рис. 3.

Оценим отношение тепловой проводимости  $\lambda$ , полученной с учетом ангармонизма, к тепловой проводимости  $\lambda_0$ , полученной в приближении акустического несоответствия, выражением

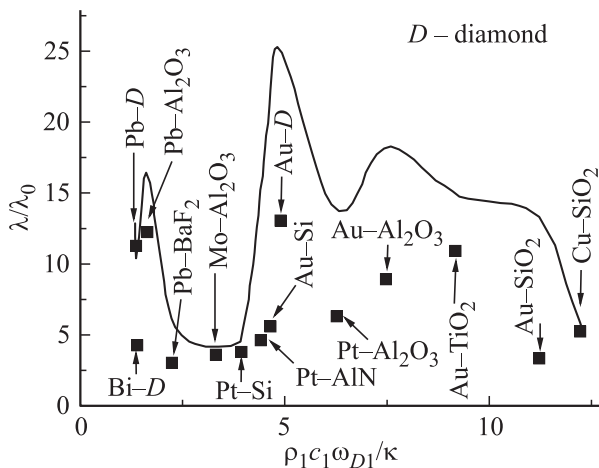
$$\frac{\lambda}{\lambda_0} = \frac{\sum_{e\xi\omega} \rho_2 \omega_J^2 \bar{A}_2 \bar{A}_2^* \{1 + Y\} c_2 \cos(\chi_{2J})}{\sum_{e\xi\omega} \rho_2 \omega_J^2 \bar{A}_2 \bar{A}_2^* c_2 \cos(\chi_{2J})}. \quad (13)$$

Соотношение  $\lambda/\lambda_0$  для различных границ, как функция аргумента  $\rho_1 c_1 \omega_{D1}/\kappa = \rho_1 (c_{1L} \omega_{D1L} + 2c_{1T} \omega_{D1T})/(3\kappa)$ , характеризующего влияние адгезии на прохождение волн через границу (2), представлено на рис. 4.

Из рис. 4 видно, что представленная модель в ряде случаев позволила получить неплохое согласие теоретических оценок с экспериментальными данными, а также получить зависимость  $\lambda/\lambda_0$  от  $\rho_1 c_1 \omega_{D1}/\kappa$ , качественно близкую к зависимости  $\lambda_{S \text{ exp}}/\lambda_{S \kappa}$ , основанной на экспериментальных данных.



**Рис. 3.** Соотношение вкладов ангармонических и гармонических колебаний в тепловой поток через границу в зависимости от температуры на различных частотах в системе Pb–Al<sub>2</sub>O<sub>3</sub> (*a* — продольные волны, *b* — поперечные волны).



**Рис. 4.** Соотношение  $\lambda/\lambda_0$ : сплошная кривая — расчет по формуле (13); точки — оценка  $\lambda/\lambda_0 = \lambda_{S \text{ exp}}/\lambda_{Sk}$  на основе данных, представленных в табл. 3.

В заключение анализа возможного влияния интерфейсного ангармонизма на теплоперенос через границы стоит отметить недавно вышедшую работу [41], в которой методами молекулярной динамики показано, что вклад интерфейсного ангармонизма в теплоперенос через границу Si–Ge (вещества с достаточно близкими величинами скоростей звука) может составлять 15%.

#### 4. Заключение

В представленном исследовании установлено, что учет в расчетах адгезионного взаимодействия на границе позволяет улучшить согласие расчетных и экспериментальных значений тепловой проводимости границы. Показано, что важным эффектом при описании тепловой проводимости границ (в особенности материалов с существенно различными акустическими свойствами) может оказаться ангармонический переброс локализованных мод через границу. В заключение важно отметить, что рассмотренные два механизма, влияющие на теплоперенос через границу, являются лишь малой частью спектра явлений, происходящих на границе и в той или иной мере влияющих на теплоперенос. Кроме этого, модели, использованные в данной работе для описания адгезии и ангармонизма на границе, являются крайне упрощенными, и их следует рассматривать в большей степени как качественные, чем количественные.

#### Список литературы

- [1] D.G. Cahill, W.K. Ford, K.E. Goodson, G.D. Mahan, A. Majumdar, H.J. Maris, R. Merlin, S.R. Phillpot. *Appl. Phys. Rev.* **93**, 793 (2003).
- [2] D.G. Cahill, P.V. Braun, G. Chen, D.R. Clarke, S. Fan, K.E. Goodson, P. Keblinski, W.P. King, G.D. Mahan, A. Majumdar, H.J. Maris, S.R. Phillpot, E. Pop, L. Shi. *Appl. Phys. Rev.* **1**, 011305 (2014).
- [3] И.М. Халатников. *ЖЭТФ* **22**, 687 (1952).
- [4] E.T. Swartz, R.O. Pohl. *Rev. Mod. Phys.* **61**, 605 (1989).
- [5] M.D. Losego, M.E. Grady, N.R. Sottos, D.G. Cahill, P.V. Braun. *Nature. Mater.* **11**, 502 (2012).
- [6] P.J. O'Brien, S. Shenogin, J. Liu, P.K. Chow, D. Laurencin, P.H. Mutin, M. Yamaguchi, P. Keblinski, G. Ramanath. *Nature Mater.* **12**, 118 (2013).
- [7] R. Prasher. *Appl. Phys. Lett.* **94**, 041905 (2009).
- [8] И.Е. Дзялошинский, Е.М. Лифшиц, Л.П. Питаевский. *УФН* **73**, 381 (1961).
- [9] А.Н. Вакилов, М.В. Мамонова, В.В. Прудников. *ФТТ* **39**, 964 (1997).
- [10] P.E. Hopkins, P.M. Norris, R.J. Stevens. *J. Heat Trans.* **130**, 022401 (2008).
- [11] Y.A. Kosevich. *Phys. Rev. B* **52**, 1017 (1995).
- [12] H.K. Lyeo, D.G. Cahill. *Phys. Rev. B* **73**, 144301 (2006).
- [13] A.V. Sergeev. *Phys. Rev. B* **58**, R10199 (1998).
- [14] M.L. Huberman, A.W. Overhauser. *Phys. Rev. B* **50**, 2865 (1994).
- [15] А.Г. Слепнев, В.И. Хвезюк. *Нанотехнология* **1**, 17 (2011).
- [16] G. Xu, M. Tazawa, P. Jin, S. Nakao, K. Yoshimura. *Appl. Phys. Lett.* **82**, 3811 (2003).
- [17] L. Bergström. *Adv. Colloid Interface Sci.* **70**, 125 (1997).
- [18] Физические величины. Справочник / Под ред. И.С. Григорьева, Е.З. Мейлихова. Энергоатомиздат, М. (1991). 1232 с.
- [19] В.К. Григорович. *Электронное строение и термодинамика сплавов железа*. Наука, М. (1970). 292 с.
- [20] C. Deger, E. Bom, H. Angerer, O. Ambacher, M. Stutzmann, J. Homsteiner, E. Riha, G. Fischherauer. *Appl. Phys. Lett.* **72**, 2400 (1998).
- [21] Y.N. Xu, W.Y. Ching. *Phys. Rev. B* **48**, 4335 (1993).
- [22] R.J. Stevens, A.N. Smith, P.M. Norris. *J. Heat Trans.* **127**, 315 (2005).
- [23] R.J. Stoner, H.J. Maris. *Phys. Rev. B* **48**, 16373 (1993).
- [24] M. Battabyal, O. Beffort, S. Kleiner, S. Vaucher, L. Rohr. *Diamond Rel. Mater.* **17**, 1438 (2008).
- [25] В. Миссол. *Поверхностная энергия раздела фаз в металлах*. Металлургия, М. (1978). 176 с.
- [26] M.S. Kennedy, N.R. Moody, D.P. Adams, M. Clift, D.F. Bahr. *Mater. Sci. Eng. A* **493**, 299 (2008).
- [27] Ю.В. Найдич, И.И. Габ, Б.Д. Костюк, Т.В. Стецюк, Д.И. Куркова, С.В. Дукаров. *Докл. НАН Украины* **5**, 97 (2007).
- [28] D. Holec, P.H. Mayrhofer. *Scr. Mater.* **67**, 760 (2012).
- [29] A. Navrotsky. *Geochem. Trans.* **4**, 34 (2003).
- [30] C.M. Balik, S.K. Tripathy, A.J. Hopfinger. *J. Polym. Sci. B* **20**, 2003 (1982).
- [31] G. Guisbiers, D. Liu, Q. Jiang, L. Buchaillot. *Phys. Chem. Chem. Phys.* **12**, 7203 (2010).
- [32] A.A. Stekolnikov, J. Furthmüller, F. Bechstedt. *Phys. Rev. B* **65**, 115318 (2002).
- [33] B.W. Veal, A.P. Paulikas. *Phys. Rev. B* **10**, 1280 (1974).
- [34] I.G. Gurtubay, J.M. Pitarke, Wei Ku, A.G. Eguluz, B.C. Larson, J. Tischler, P. Zschack, K.D. Finkelstein. *Phys. Rev. B* **72**, 125117 (2005).
- [35] N.F. Mott. *Proc. R. Soc. A* **153**, 699 (1936).
- [36] N. Oka, R. Arisawa, A. Miyamura, Y. Sato, T. Yagi, N. Take-toshi, T. Baba, Y. Shigesato. *Thin Solid Films* **518**, 3119 (2010).
- [37] F. Nitsche, B. Schumann. *J. Low. Temp. Phys.* **39**, 119 (1980).
- [38] В.А. Красильников, В.В. Крылов. *Введение в физическую акустику*. Наука, М. (1984). 400 с.
- [39] O.M. Rayleigh. *Proc. R. Soc. A* **79**, 399 (1907).
- [40] В.Н. Беломестных. *Письма в ЖТФ* **30**, 14 (2004).
- [41] K. Gordiz, A. Henry. *Sci. Rep.* **6**, 23139 (2016).